

УДК 621.77

Никитина Т.Б.

## **СИНТЕЗ АНИЗОТРОПИЙНОГО СТАБИЛИЗАТОРА ОСНОВНОГО ВООРУЖЕНИЯ ТАНКА В ГОРИЗОНТАЛЬНОЙ ПЛОСКОСТИ**

**Постановка проблемы, связь с научными и практическими задачами.** Колесные и гусеничные машины отечественного производства обладают высокими тактико – техническими характеристиками и успешно конкурируют с военной техникой иностранного производства, что, в частности подтверждается контрактами с Пакистаном, Иорданией и Сирией на поставку отечественной военной техники. При модернизации колесных и гусеничных машин для повышения тактико–технических характеристик предполагается использование в системах наведения и стабилизации бортовой ЭВМ, с помощью которой аппаратно и программно можно реализовать более сложные законы управления, чем традиционные пропорциональные регуляторы с обратными связями по углам и угловым скоростям объекта управления [1-8].

**Анализ последних достижений и публикаций.** В последнее время интенсивно развивается теория стохастического робастного управления [9-14]. Системы стохастического робастного управления обладают рядом преимуществ. Во-первых, они робастно устойчивы, т.е. сохраняют устойчивость при изменении параметров объекта управления в определенных пределах. Во-вторых, они имеют существенно меньшую чувствительность к изменению параметров объекта управления по сравнению с оптимальными системами, несмотря на то, что динамические характеристики стохастических робастных систем могут незначительно отличаться от соответствующих характеристик оптимальных систем. [1].

**Цель работы.** Целью данной работы является разработка методики синтеза стохастического робастного регулятора стабилизатора основного танкового вооружения в горизонтальной плоскости с учетом упругости ствола. Задачей статьи является синтез и исследование динамических характеристик стохастической робастной системы управления стабилизатором танкового вооружения в горизонтальной плоскости а.

**Изложение материала исследования, полученных научных результатов.** Рассмотрим систему управления стабилизатором танкового вооружения в горизонтальной плоскости следуя работе [4], схема которой показана на рис. 1. Требуемое угловое положение оси канала ствола задается с помощью пульта наведения (ПН) воздействием на электромагниты наведения (ЭН) с помощью которых рамка гироскопического датчика угла (ГДУ) устанавливается в требуемое направление, которое контролируется с помощью главного зеркала прицела. Гироскопический датчик угла установлен непосредственно на башне (Б), что позволяет непрерывно измерять угловое отклонение башни от заданного направления на цель.

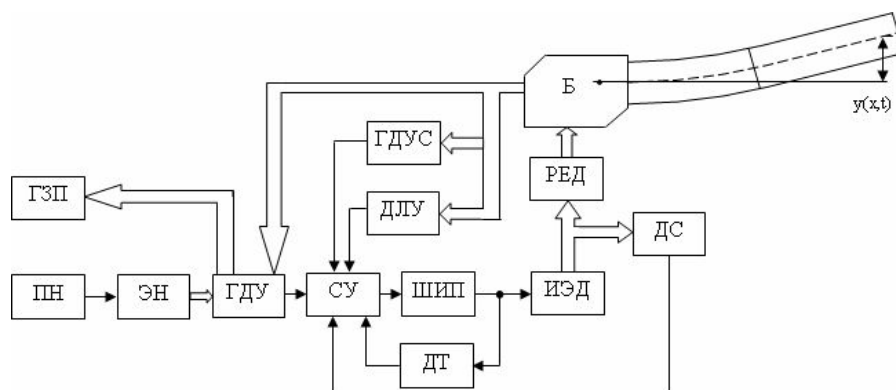


Рисунок 1 - Схема системы управления дискретно-континуальным объектом управления

Объект управления – башня (Б) приводится во вращение от исполнительного электродвигателя (ИЭД) через редуктор (РЕД). Исполнительный электродвигатель является высокомоментным двигателем постоянного тока, якорная обмотка которого питается от широтно-импульсного преобразователя (ШИП), входное напряжение которого формируется с помощью системы управления (СУ). На входы системы управления подаются сигналы: с выхода гироскопического датчика угла, пропорционального углу рассогласования между заданным направлением и фактическим направлением башни; с выхода гироскопического датчика угловой скорости (ГДУС), пропорционального угловой скорости вращения башни; с выхода датчика линейных ускорений (ДЛУ) пропорционального угловому ускорению башни; с выхода датчика скорости (ДС), пропорционального скорости вращения исполнительного электродвигателя и с выхода датчика тока (ДТ), пропорционального току якорной цепи исполнительного электродвигателя.

Башня танка совместно с орудием является объектом регулирования системы стабилизации вооружения в горизонтальной плоскости. Возмущающими моментами, действующими на башню является суммарный момент инерции башни и связанных с ней подвижных механизмов, суммарный момент трения, а также возмущающий момент, обусловленный неуравновешенностью башни относительно ее оси вращения, т.к. в отличие от орудия, башня танка, вследствие смещения центра масс относительно оси вращения башни в сторону орудия, всегда имеет значительную неуравновешенность. Наличие такой неуравновешенности приводит к возникновению целого ряда возмущающих моментов при движении танка и колебаниях его корпуса. Горизонтальные угловые колебания корпуса обусловлены изменениями направления движения, а также неравномерностью натяжения гусеничных цепей и состоянием грунта на трассе движения, что порождает соответственно низкочастотные и высокочастотные составляющие угловых колебаний башни, характер которых в значительной степени определяется манерой вождения танка. Интенсивность горизонтальных угловых колебаний в значительной мере определяет точность работы системы стабилизации вооружения в горизонтальной плоскости. В частности, при движении по твердому промерзшему грунту в зимних условиях интенсивность горизонтальных угловых колебаний может возрасти более чем в два раза [1].

**Математическая модель объекта управления.** Рассмотрим математическую модель объекта управления системы наведения и стабилизации в горизонтальной плоскости следуя работе [11]. Представим объект управления в виде твердого тела - и упругого элемента, как это показано на рис.1. Помимо вращения относительно оси, оно совершает упругие колебания. Обозначим через  $\gamma(t)$  угол поворота жесткого тела в

инерциальной системе координат,  $y(x, t)$  - отклонение точек стержня от недеформированного состояния. Предположим, что управление осуществляется с помощью стабилизирующего момента  $M_{c0}(t)$ , приложенного к основному жесткому телу. Возмущающий момент  $M_{e0}(t)$  действует также относительно этой оси поворота основного жесткого тела.

Тогда уравнение движения башни относительно оси может быть записано в следующем виде [11]:

$$I_0 \ddot{\phi}(t) - \int_r^{r+l} m_1(x) \frac{\partial^2 y(x, t)}{\partial t^2} dx = M_{c0}(t) + M_{e0}(t).$$

Это уравнение описывает свободное движение дискретно-континуального объекта управления, в котором  $I_c$  является характеристикой дискретно-континуального объекта как твердого тела, а  $m_1(x)$  характеризует взаимное влияние движений жесткого модуля и колебаний упругих элементов. Функция  $y(x, t)$  удовлетворяет уравнению колебаний упругой балки

$$m_1(x) \ddot{\phi}(t) + m(x) \frac{\partial^2 y(x, t)}{\partial t^2} + EI(x) \frac{\partial^4 y(x, t)}{\partial x^4} + \xi EI(x) \frac{\partial^5 y(x, t)}{\partial x^4 \partial t} = F_0(x, t),$$

где  $EI(x)$  - изгибная жесткость ствола;  $\xi$  - коэффициент внутреннего демпфирования материала ствола;  $F(x, t)$  - распределенное по длине ствола внешнее возмущение, обусловленное вертикальными колебаниями оси цапф орудия при движении танка по пересеченной местности.

Представим функцию  $y(x, t)$  в виде следующего разложения

$$y(x, t) = \sum_{i=1}^n \gamma_i(t) T_i(x),$$

где  $n$  - число учитываемых форм упругих колебаний ствола. Тогда получим следующие уравнения, описывающие движение дискретно – континуального объекта под действием стабилизирующего момента  $M_{c0}(t)$ , возмущающего момента  $M_{e0}(t)$ , а также распределенной по длине ствола силы  $F_0(x, t)$ , вызванной горизонтальными колебаниями подрессоренной части танка

$$I_0 \ddot{\phi}(t) - \sum_{i=1}^n \ddot{T}_i(t) \int_r^{r+l} m_1(x) \gamma_i(x) dx = M_{c0}(t) + M_{e0}(t);$$

$$m_1(x) \ddot{\phi}(t) + m(x) \sum_{i=1}^n \gamma_i(x) \ddot{T}_i(t) + EI(x) \sum_{i=1}^n \gamma_i^{IV}(x) T_i(t) + \xi EI(x) \sum_{i=1}^n \gamma_i^{IV}(x) \dot{T}_i(t) = F(x, t).$$

Учитывая только первую основную форму упругих колебаний, функцию  $y(x, t)$  представим в виде

$$y(x, t) = \gamma_0(x)I_0(t).$$

Тогда уравнения динамики движения дискретно-континуального объекта управления примут следующий вид

$$\begin{aligned} I_0 \varphi(t) - a_0 \ddot{T}_0(t) &= M_{co}(t) + M_{eo}(t); \\ a_0 \ddot{\varphi}(t) + c_0 \ddot{T}_0(t) + \xi b_0 \dot{T}_0(t) + b_0 T_0(t) &= f_0(t). \end{aligned}$$

Электропривод горизонтального наведения содержит высоко моментный двигатель постоянного тока независимого возбуждения, якорная цепь которого питается от широтно-импульсного преобразователя. Для упрощения математической модели электропривода горизонтального наведения предположим, что он содержит внутренний контур тока. В контуре тока с помощью пропорционально-интегрального регулятора компенсируется постоянная времени электромагнитных процессов, происходящих в якорной цепи двигателя, а динамика замкнутого контура тока, настроенного на модульный оптимум описывается передаточной функцией второго порядка

$$W_{zm}(p) = \frac{1}{T_0^2 p^2 + 2\xi T_0 p + 1}.$$

Эквивалентная постоянная времени  $T_0$  которого определяется малой некомпенсированной постоянной времени  $T_{\mu m}$  контура тока, так что

$$T_0 = \sqrt{2} T_{\mu m},$$

а коэффициент демпфирования  $\xi = \sqrt{2}/2$ . Так как в двигателе постоянного тока независимого возбуждения момент двигателя  $M_\partial$  связан с током якорной цепи двигателя  $I_\partial$  соотношением

$$M_\partial(t) = K\Phi I_\partial(t),$$

где  $K$  - конструктивная постоянная двигателя,  $\Phi$  - магнитный поток двигателя, то динамика изменения момента двигателя  $M_\partial$  описывается точно такой же передаточной функцией и отличается лишь коэффициентом передачи замкнутого контура регулирования момента. Тогда уравнение динамики исполнительного органа относительно момента стабилизации  $M_{co}$  запишем в следующем виде

$$T_m^2 \ddot{M}_{co}(t) + 2\xi_m T_m \dot{M}_{co}(t) + M_{co}(t) = K_m u(t),$$

где  $T_m$ ,  $\xi_m$ ,  $K_m$  - соответственно постоянная времени, коэффициент демпфирования и коэффициент усиления замкнутого контура момента с учетом коэффициента передачи редуктора электромеханического исполнительного механизма в канале горизонтального наведения.

Заметим, что на большинстве отечественных танков используется электрома-  
шинный усилитель мощности, однако при модернизации танков такой усилитель, как  
правило, заменяется на широтно-импульсный преобразователь.

Введем следующие компоненты вектора состояния: угол  $\varphi(t)$  отклонения меж-  
ду осью канала ствола и направлением на цель и его производную  $\dot{\varphi}(t)$ , значение  
функции  $T_0(t)$  в представлении функции  $y(x, t)$  характеризующей отклонение точек  
оси канала ствола от его недеформируемого состояния, а также производную этой  
функции  $\dot{T}_0(t)$ , момент стабилизации  $M_{co}(t)$  башни с помощью исполнительного  
электродвигателя и его производную  $\dot{M}_{co}(t)$ . При этом вектор состояния примет сле-  
дующий вид

$$\vec{X}(t) = \{\varphi(t), \dot{\varphi}(t), T_0(t), \dot{T}_0(t), M_{co}(t), \dot{M}_{co}(t)\}.$$

Тогда уравнения возмущенного движения дискретно-континуального объекта  
стабилизации совместно с уравнением исполнительного электропривода, эквивалентны  
системе дифференциальных уравнений 6-го порядка

$$\begin{aligned} \dot{x}_1(t) &= x_2(t); \\ \dot{x}_2(t) &= \frac{c_0}{I_0 c_0} + a_0^2 x_5(t) - \frac{\xi a_0 b_0}{\Delta} x_4(t) - \frac{a_0 b_0}{\Delta} x_3(t); \\ \dot{x}_3(t) &= x_4(t); \\ \dot{x}_4(t) &= -\frac{\xi I_0 b_0}{\Delta} x_4(t) - \frac{I_0 b_0}{\Delta} x_3(t) - \frac{a_0}{\Delta} x_5(t) \\ \dot{x}_5(t) &= x_6(t); \\ \dot{x}_6(t) &= -\frac{1}{T_m^2} x_5(t) - \frac{2\xi}{T_m} x_6(t) + \frac{K_m}{T_m^2} u(t); \end{aligned}$$

Здесь введено обозначение  $\Delta = I_0 c_0 + a_0^2$ .

Тогда в уравнении состояния возмущенного движения дискретно-  
континуального объекта стабилизации совместно с уравнением исполнительного элек-  
тропривода и интегратором, на котором реализуется астатический регулятор, матрица  
состояния примет следующий вид

$$A = \begin{array}{|c|c|c|c|c|c|} \hline & 1 & & & & \\ \hline & & -\frac{a_0 b_0}{\Delta} & -\frac{\xi a_0 b_0}{\Delta} & \frac{c_0}{\Delta} & \\ \hline & & & 1 & & \\ \hline & & -\frac{I_0 b_0}{\Delta} & -\frac{\xi I_0 b_0}{\Delta} & -\frac{a_0}{\Delta} & \\ \hline & & & & & 1 \\ \hline & & & & -\frac{1}{T_m^2} & -\frac{2\xi}{T_m} \\ \hline \end{array}, B = \begin{array}{|c|} \hline \\ \hline \\ \hline \\ \hline \\ \hline \\ \hline \frac{K_m}{T_m^2} \\ \hline \end{array}.$$

Заметим, что эта система уравнений является упрощенной, так как в ней не учитывается собственная динамика гироскопических датчиков угла и угловой скорости, а также учитывается лишь первый тон упругих колебаний ствола орудия.

**Метод решения.** Если входной сигнал является гауссовым белым шумом, а математическая модель системы полностью определена, то при синтезе регулятора минимизируют линейный квадратичный гауссовый критерий [1] в виде минимума математического ожидания квадрата выходной координаты

$$J(w_{ky}) = \lim_{t \rightarrow \infty} M \left[ \int_0^t Z^T Z dt \right],$$

здесь  $M$  - обозначает математическое ожидание.

Такой регулятор фактически минимизирует  $H^2$  норму, что может быть записано в следующем виде

$$\|w_{ZX}\|_2 \rightarrow \mathbf{min}.$$

Заметим, что  $H^2$  норма передаточной функции на основании теоремы Релея - Парсевала может быть определена в частотной области в виде

$$\|w\|_2 = \left\{ \frac{1}{2\pi} \int_{-\infty}^{\infty} \text{tr} \{ w(j\omega) [w(j\omega)]^* \} d\omega \right\}^{1/2}.$$

Применение регуляторов, оптимальных по квадратичным критериям качества показало их высокую чувствительность к структурным и параметрическим возмущениям объекта управления и внешних воздействий. Для уменьшения чувствительности синтезированной системы к структурным и параметрическим возмущениям объекта управления и внешних воздействий вместо  $H^2$  нормы используют  $H^\infty$  норму в следующем виде

$$\|w_{ZX}\|_\infty \rightarrow \mathbf{min}.$$

Обычно  $H^\infty$  норма определяется путем нахождения максимального сингулярного значения  $\bar{\sigma}(\cdot)$  матрицы передаточной функции с помощью алгоритма Шура в следующем виде

$$\|w\|_\infty \equiv \sup_{\omega} \bar{\sigma}(w(j\omega)), \omega \in [0, \infty).$$

Робастные регуляторы, синтезированные по критерию  $H^\infty$ , обладают малой чувствительностью к структурным и параметрическим возмущениям [10-11], однако их динамические характеристики часто оказываются неудовлетворительными в связи с излишней «осторожностью» робастных регуляторов, рассчитанных на работу системы в самых неблагоприятных условиях.

Применение регуляторов, синтезированных по смешанному критерию, вклю-

чающему  $H^2$  и  $H^\infty$  нормы, позволяет получать системы, обладающие достаточно высокими динамическими характеристиками при низкой чувствительности к изменению параметров и структуры объектов управления. Однако вопрос выбора параметра толерантности  $\gamma$ , характеризующего соотношения между  $H^2$  и  $H^\infty$  нормами решается на интуитивном уровне. Чем ближе система к оптимальной по  $H^2$  норме, тем она более чувствительна к изменению параметров и структуре моделей объекта управления и внешних воздействий. Чем ближе синтезированная система к оптимальной по  $H^\infty$  норме, тем меньшую точность она имеет, так как проявляет излишнюю «осторожность» и рассчитана на работу в самых неблагоприятных условиях.

Одним из корректных подходов к обоснованному выбору смешанного критерия, включающего  $H^2$  и  $H^\infty$  нормы, является построение анизотропийных регуляторов [12-14]. При стохастическом подходе к синтезу  $H^\infty$  управления в качестве критерия оптимальности системы используется стохастическая норма системы

$$\|w_{ZX}\|_a \rightarrow \min .$$

При этом фактически используется комбинация стохастической нормы системы и средней анизотропии случайного сигнала, что и приводит к одному из вариантов стохастической нормы, названной анизотропийной нормой.

Рассмотрим решение задачи анализа анизотропийных регуляторов для многомерной дискретной системы с  $m$  входами и  $p$  выходами и матричной передаточной функцией  $w$ , на вход которой поступает дискретный многомерный гаусовский белый шум с нулевым математическим ожиданием и единичной ковариационной матрицей. Тогда средняя анизотропия дискретной последовательности на выходе такой системы определяется следующим выражением

$$\bar{A}(w_\phi) \equiv -\frac{1}{4\pi} \int_{-\pi}^{\pi} \ln \det \left\{ \frac{m}{\|w_\phi\|_2^2} \hat{w}_\phi(\omega) [\hat{w}_\phi(\omega)]^* \right\} d\omega .$$

Величина средней анизотропии равна нулю, если дискретная последовательность представляет собой гаусовский белый шум с единичной ковариационной матрицей.

Представим исходную дискретную систему в форме пространства состояний

$$w_\phi = \begin{bmatrix} A & B \\ C & D \end{bmatrix},$$

т.е. передаточная функция системы  $w_\phi$  задана в виде  $A, B, C, D$  реализации.

Тогда средняя анизотропия дискретной последовательности на выходе системы может быть определена следующим образом

$$\bar{A}(w_\phi) \equiv -\frac{1}{2\pi} \ln \det \left[ \frac{mT}{\text{tr}\{CPC^T + DD^T\}} \right],$$

где матрица  $T$  связана с решением  $R$  уравнения Риккати.

$$\begin{aligned} R &= ARA^T + BB^T - LTL^T, \\ T &\equiv CRC^T + DD^T, \\ L &\equiv (ARC^T + BD^T)T^{-1}, \end{aligned}$$

а грамиан управляемости  $P$  системы является решением уравнения Ляпунова

$$P = APA^T + BB^T.$$

Для решения уравнения Риккати используется алгоритм для нахождения обобщенных собственных векторов Шура, а для решения уравнения Ляпунова используется алгоритм Шура для унитарной триангуляции матриц.

Для дискретной динамической системы с передаточной функцией  $w$ , на вход которой поступает дискретная последовательность, сформированная из гаусовской последовательности с мощностью дискретного фильтра с передаточной функцией  $w_\phi$  вводится анизотропийная норма системы в следующем виде

$$\|w\|_a \equiv \sup \left\{ \frac{\|ww_\phi\|_2}{\|w\|_2} : w_\phi \in w_a \right\}.$$

Анизотропийная норма системы характеризует не анизотропию дискретных последовательностей на входе и выходе системы, а чувствительность системы в среднем к случайным входным последовательностям со средним уровнем анизотропии равным  $a$ . Причем, при нулевой анизотропии  $a=0$  входной дискретной последовательности анизотропийная норма системы равна  $H^2$  норме системы, а при бесконечной анизотропии  $a \rightarrow \infty$  входной дискретной последовательности анизотропийная норма системы равна  $H^\infty$  норме системы, так что имеет место следующее соотношение

$$\frac{1}{\sqrt{m}} \|w\|_2 = \|w\|_0 \leq \lim_{a \rightarrow +\infty} \|w\|_a = \|w\|_\infty.$$

Таким образом, если величина анизотропии входной дискретной системы находится в диапазоне  $0 < a < \infty$ , то значение анизотропийной нормы системы  $\|w\|_a$  ограничено значениями  $H^2$  и  $H^\infty$  нормами системы

$$\frac{1}{\sqrt{m}} \|w\|_2 \leq \|w\|_a \leq \|w\|_\infty.$$

Рассмотрим алгоритм вычисления анизотропийной нормы дискретной системы, заданной в пространстве состояний матрицами  $A, B, C, D$ . Запишем для этой дискретной системы уравнение Риккати относительно матрицы  $R$  в следующем виде



$$R = A^T R A + q C^T C - L^T \Sigma^{-1} L,$$

$$\Sigma \equiv \left( I_m - q D^T D - B^T R B \right)^{-1},$$

$$L \equiv \Sigma \left( B^T R A + q D^T C \right).$$

Тогда  $a$  - анизотропийная норма этой системы может быть определена в виде

$$\|w\|_a = \left\{ \frac{1}{q} \left[ 1 - \frac{m}{\text{tr}\{LPL^T + \Sigma\}} \right] \right\}^{1/2},$$

где грамиан управляемости  $P$  формирующего фильтра

$$w_\phi = \begin{bmatrix} A + BL & b \Sigma^{1/2} \\ L & \Sigma^{1/2} \end{bmatrix}.$$

Определяется уравнением Ляпунова

$$P = [A + BL]P[A + BL]^T + B \Sigma B^T.$$

При этом величина анизотропии дискретной случайной последовательности на входе системы равна

$$-\frac{1}{2} \ln \det \left[ \frac{m \Sigma}{\text{tr}\{LPL^T + \Sigma\}} \right] = a.$$

Рассмотрим синтез робастного регулятора, минимизирующего анизотропийную норму в форме пространства состояний [12-13]. Этот регулятор формирует управляющее воздействие на вход системы по ее измеряемому выходу и представляет собой динамический блок типа компенсатора, объединяющий робастный наблюдатель и робастный регулятор.

Обозначим  $A, B, C, D$  реализацию исходной системы, замкнутой этим динамическим блоком в следующем виде

$$\mathfrak{S}(W, W_{ky}) \sim \begin{bmatrix} \bar{A} & \bar{B} \\ \bar{C} & D_{11} \end{bmatrix} \equiv \left[ \begin{array}{cc|c} A & B_2 \bar{C} & B_1 \\ \hline \bar{B} C_2 & \bar{A} & \bar{B} D_{21} \\ C_1 & D_{12} \bar{C} & D_{11} \end{array} \right].$$

Рассмотрим уравнение Риккати

$$R = \bar{A}^T R \bar{A} + q \bar{C}^T \bar{C} + L^T \Sigma^{-1} L,$$

$$\Sigma \equiv \left[ I_{m_1} - q D_{11}^T D_{11} - \bar{B}^T R \bar{B} \right]^{-1},$$

$$L \equiv [L_1 \quad L_2] \equiv \Sigma \left[ \bar{B}^T R \bar{A} + q D_{11}^T \bar{C} \right].$$

В этом уравнении скалярный параметр  $q$  выбирается из полуоткрытого интервала  $\left[0; \|\mathfrak{Z}(w, w_{ky})\|_{\infty}^{-2}\right]$ . Если это уравнение Риккати имеет решение, то анизотропия сигнала равна

$$-\frac{1}{2} \ln \det \left[ \frac{m_1 \Sigma}{\text{tr}\{LPL^T + \Sigma\}} \right] = a,$$

а эквивалентный формирующий фильтр

$$W_{\phi} \sim \begin{bmatrix} \bar{A} + \bar{B}L & \bar{B} \Sigma^{1/2} \\ L & \Sigma^{1/2} \end{bmatrix} = \left[ \begin{array}{cc|c} A + B_1 L_1 & B_1 L_2 + B_2 \hat{C} & B_1 \Sigma^{1/2} \\ \hline \hat{B}[C_2 + D_{21} L_1] & \hat{A} + \hat{B} D_{21} L_2 & \hat{B} D_{21} \Sigma^{1/2} \\ L_1 & L_2 & \Sigma^{1/2} \end{array} \right]$$

имеет грамиан управляемости, определяемый уравнением Ляпунова

$$P = [\bar{A} + \bar{B}L]P[\bar{A} + \bar{B}L]^T + \bar{B} \Sigma \bar{B}^T.$$

При этом  $a$  - анизотропийная норма системы, замкнутой таким регулятором, равна

$$\|\mathfrak{Z}(W, W_{ky})\|_a = \left\{ \frac{1}{q} \left[ 1 - \frac{m_1}{\text{tr}\{LPL^T + S\}} \right] \right\}^{1/2}.$$

Рассмотрим уравнение Риккати

$$\begin{aligned} S &= [A + B_1 L_1]S[A + B_1 L_1]^T + B_1 \Sigma B_1^T - \Lambda \Theta \Lambda^T, \\ \Theta &\equiv [C_2 + D_{21} L_1]S[C_2 + D_{21} L_1]^T + D_{21} \Sigma D_{21}^T, \\ \Lambda &\equiv \left[ [A + B_1 L_1]S[C_2 + D_{21} L_1]^T + B_1 \Sigma D_{21}^T \right] \Theta^{-1}. \end{aligned}$$

Рассмотрим также уравнение Риккати

$$\begin{aligned} T &= \underline{A}^T T \underline{A}^T + \underline{C}^T \underline{C} - N^T \Pi N, \\ \Pi &\equiv \underline{B}^T T \underline{B} + D_{12}^T D_{12}, \\ N &\equiv [N_1 \quad N_2] \equiv -\Pi^{-1} (\underline{B}^T T \underline{A} + D_{12}^T \underline{C}), \end{aligned}$$

в котором матрицы  $A, B, C, D$  реализации имеют следующий вид

$$\begin{bmatrix} \underline{A} & \underline{B} \\ \underline{C} & \underline{D} \end{bmatrix} \equiv \left[ \begin{array}{cc|c} A & B_1 M & B_2 \\ 0 & A + B_1 M + B_1 \widehat{C} & 0 \\ \hline C_1 & D_{11} M & \underline{D} \end{array} \right].$$

Откуда может быть получена  $\widehat{A}$ ,  $\widehat{B}$ ,  $\widehat{C}$ ,  $\widehat{D}$  реализация регулятора, оптимизирующего анизотропийную норму.

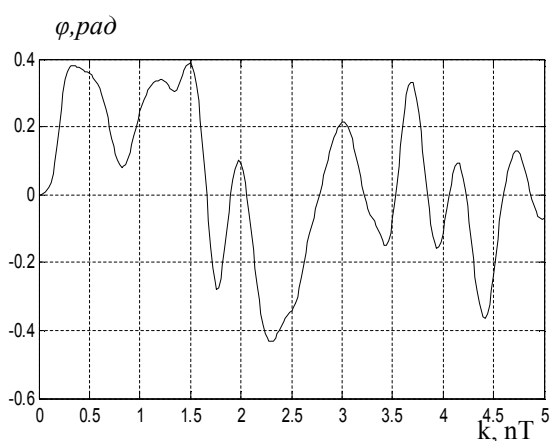
$$\begin{aligned} \widehat{A} &= B_2 \widehat{C} + [I_n - \Lambda] \begin{bmatrix} A & B_1 \\ C_2 & D_{21} \end{bmatrix} \begin{bmatrix} I_n \\ M \end{bmatrix}, \\ \widehat{B} &= \Lambda, \quad \widehat{C} = N_1 + N_2. \end{aligned}$$

Таким образом, решение задачи стохастической робастной оптимизации сводится к вычислению трех алгебраических уравнений Риккати, уравнения Ляпунова и уравнения специального вида для вычисления уровня анизотропии входного сигнала.

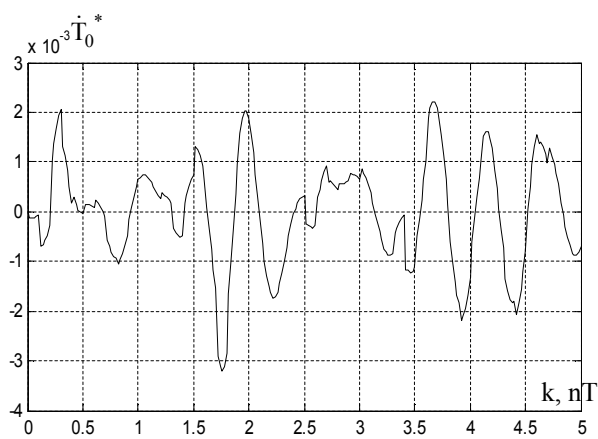
**Результаты моделирования.** В качестве примера на рис. 2 показаны реализации угла  $\varphi(k)$  отклонения между осью канала ствола и направлением на цель а) и его производной  $\dot{\varphi}(k)$  б); функции  $T_0(k)$  в) и ее производной  $\dot{T}_0(k)$  г), момента стабилизации  $M_{сб}(k)$  д) и его производной  $\dot{M}_{сб}(k)$  е) системы наведения и стабилизации в горизонтальной плоскости при случайных внешних воздействиях.

**Выводы из проведенного исследования, перспективы этого направления.** Разработан метод синтеза анизотропийного робастного управления стабилизатором основного танкового вооружения в горизонтальной плоскости. Задача определения анизотропийной нормы системы управления сводится к решению уравнений Риккати и Ляпунова, а задача синтеза системы, минимизирующей анизотропийную норму, сводится к синтезу двух уравнений Риккати, уравнения Ляпунова и еще одного алгебраического уравнения.

Применение стохастического робастного регулятора позволило получить приемлемые показатели качества для стабилизатора основного танкового вооружения в горизонтальной плоскости как дискретно-континуального объекта управления с учетом упругих колебаний. Приведены динамические характеристики синтезированной системы при случайном изменении внешних воздействий.



а)



г)

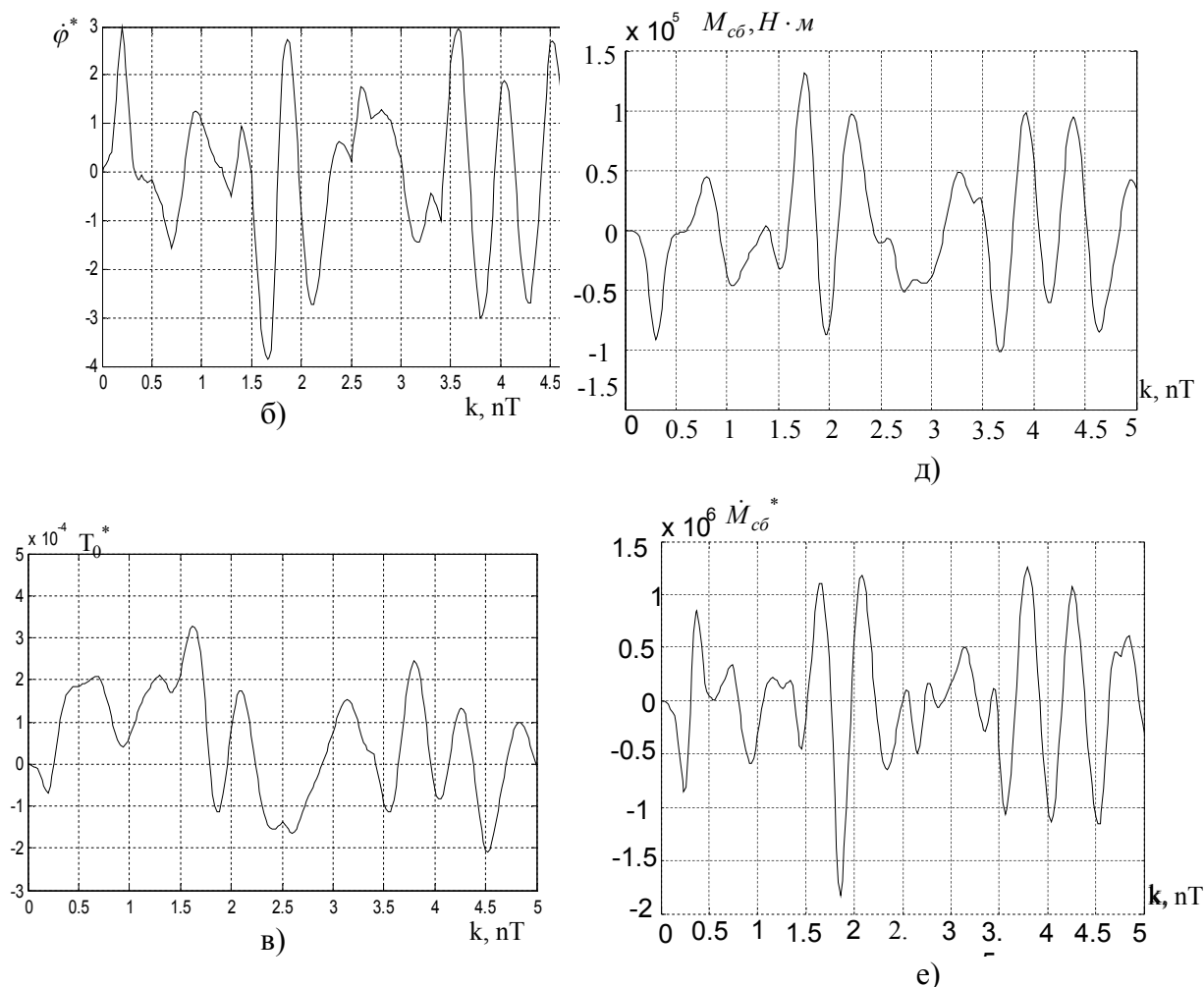


Рисунок 2 - Реализации угла  $\varphi(k)$  отклонения между осью канала ствола и направлением на цель а) и его производной  $\dot{\varphi}(k)$  б); функции  $T_0(k)$  в) и ее производной  $\dot{T}_0(k)$  г), момента стабилизации  $M_{cб}(k)$  д) и его производной  $\dot{M}_{cб}(k)$  е) системы наведения и стабилизации в горизонтальной плоскости при случайных внешних воздействиях

Дальнейшее повышение точности стабилизации сдерживается энергетическими ограничениями исполнительного электродвигателя и информационными ограничениями измерителей.

Литература: 1. Александров Е.Е., Богаенко И.Н., Кузнецов Б.И. Параметрический синтез систем стабилизации танкового вооружения. – К.: Техніка, 1997. – 112 с. 2. Александров Е.Е., Кузнецов Б.И., Радиевский А.Е. Оптимизация электромеханических систем с упругими элементами. – Харків: ІМІС, 1995. – 304 с. 3. Александров Е.Е., Александрова И.Е., Богаенко И.Н. Инвариантный стабилизатор основного вооружения танка// Артиллерийское и стрелковое вооружение. – Киев: 2006. - №3. – С. 30 – 34. 4. Александров С.С., Богатыренко К.І., Беляев С.М. Параметричний синтез автоматизованого електропривода танкової башти. Електромашинобудування та електрообладнання. Міжвідомчий науково - технічний збірник. – Київ. Техніка. 2006, випуск 66. – С.195 – 196. 5. Александров Е.Е., Александрова И.Е., Костяник И.В. Параметрический синтез стабилизатора переменной структуры дискретно – континуального объекта. Технічна

електродинаміка. Тематичний випуск. Силова електроніка та енергоефективність. Частина 4. – Київ: 2006. С.65-68. 6. Богатыренко К.И., Беляев С.Н., Савчук А.О. Инвариантный танковый стабилизатор основного вооружения. Механика та машинобудування//Науково – технічний журнал. – Харків: НТУ „ХПІ”, 2006. - №1, с. 229 – 232. 7. Нефедов А.В., Рудник Н.П. Определение параметров передаточных функций модели стабилизатора для тренажера боевого отделения танка. Механика та машинобудування//Науково – технічний журнал. – Харків: НТУ „ХПІ”, 2004. - №2, с. 185 – 192. 8. Корнеев В.В., Кузнецов М.И., Кузьмин Л.П. Основы автоматики и танковые автоматические системы. – М. АБТВ, 1976.-546 с. 9. Никитина Т.Б. Робастное управление системой наведения и стабилизации вооружения легкобронированной машиной//Вестник НТУ «ХПИ»: Сб. науч. раб.- Харьков: НТУ «ХПИ». Тематический выпуск «Автоматика и приборостроение». 2007.- №36. С. 80 – 88. 10. Никитина Т.Б. Робастная стабилизация танкового вооружения. Вестник НТУ «ХПИ», Сборник научных трудов. Тематический выпуск «Автоматика и приборостроение». 2007, №10. С. 134 – 144. 11. Никитина Т.Б. Робастная стабилизация дискретно – континуального объекта. //Технічна електродинаміка. Тематичний випуск. Проблеми сучасної електротехніки. Частина 4. Київ. 2007. С. 60 – 64. 12. Vladimirov I.G., Kurdjukov A.P., Semyonov A.V. On computing the anisotropic norm of linear discrete-time-invariant systems // Proceedings of the 13 th IFAC World Congress, San-Francisco, California, USA, June 30 – July 5, 1996, v. G, Paper IFAC-2d-01.6, 1996. 13. Vladimirov I.G., Kurdjukov A.P., Semyonov A.V. State-space solution to anisotropy-based stochastic H-infinity optimization problem // Proceedings of the 13th IFAC World Congress, San-Francisco, California, USA, June 30 – July 5, 1996, v. H, Paper IFAC-3d-01.6, 1996. 14. Mariton M., Bertrand P. A homotopy algorithm for solving coupled Riccati equations // Optimal Control Applications \ & Methods, v. 6, 1985.

Нікітіна Т.Б.

**СИНТЕЗ АНІЗОТРОПІЙНОГО СТАБІЛІЗАТОРУ ОСНОВНОГО ОЗБРОЄННЯ  
ТАНКУ У ГОРИЗОНТАЛЬНІЙ ПЛОЩАНІ**

Розроблено метод синтезу стохастичного робастного керування електроприводом горизонтального наведення з урахуванням пружних елементів як дискретно-континуальним об'єктом. Наведено приклад динамічних характеристик синтезованої системи.

Nikitina T.B.

**ROBUST CONTROL STOCHASTIC SYNTHESIS BY THE HORIZON ELECTRIC  
DRIVE FOR BASIC TANK ARMAMENT**

The method of robust control stochastic synthesis by the horizon electric drive for basic tank armament with elastic elements as discrete-continual plant is developed. The example of dynamic characteristics for such system is given.

---